

Зависимости напряженности электрического поля от расстояния до границы раздела двух несмешивающихся жидкостей и поверхностной концентрации C_s представлены на рис. 3 при условии, что концентрация ионов в объеме C_0 равна 1 г/мл, коэффициент диффузии $D = 1 \cdot 10^{-5}$ см²/с, объемная концентрация ионов вблизи поверхности раздела фаз изменяется от $C_s = 0,01$ до $0,1C_0$, коэффициент пропорциональности $k = 0,015$ Ом·см·л/г (это соответствует растворам NaCl), $a = 0,01$ с⁻¹, $V_0 = 0,0001$ см/с.

Максимальная напряженность электрического поля наблюдается на границе раздела фаз при истощении приэлектродного слоя по реагирующим ионам и формировании за счет этого истощения барьера слоя. Особый интерес представляет вопрос о том, как зависит напряженность электрического поля от расстояния и скорости движения границы раздела фаз.

Поскольку скорость движения границы раздела фаз минимальна в начальный момент времени, то для достижения пробоя следует использовать импульсный потенциостатический режим. С уменьшением скорости движения границы раздела фаз (рис. 4) и уменьшением расстояния до границы раздела, напряженность электрического поля возрастает. Максимальное значение напряженности электрического поля достигает величин $10^5 \dots 10^6$ В/см, что достаточно для пробоя образованного барьера слоя.

Таким образом, предложенная модель объясняет возникновение барьера слоя за счет концентрационных изменений ионов в процессе прохождения тока через границу раздела фаз в потенциостатическом режиме, возникновение напряженности поля достаточной для получения микроплазменных разрядов на границе раздела двух жидких фаз.

СПИСОК ЛИТЕРАТУРЫ

1. Мамаев А.И. Физико-химические закономерности сильнотоковых импульсных процессов в растворах при нанесении оксидных покрытий и модифицировании поверхности. Автореф. дис. ... докт. хим. наук. – Томск, 1999. – 36 с.
2. Рамазанова Ж.М., Мамаев А.И. Получение износостойких покрытий на сплавах алюминия методом микродугового оксидирования // Физика и химия обработки материалов. – 2002. – № 2. – С. 67–69.
3. Мамаев А.И., Чеканова Ю.Ю., Рамазанова Ж.М. Получение анодно-оксидных декоративных покрытий на сплавы алюминия методом микродугового оксидирования // Физика и химия обработки материалов. – 1999. – № 4. – С. 41–44.
4. Будницкая Ю.Ю., Мамаев А.И., Мамаева В.А., Выборнова С.Н. Исследование влияния режимов фор-
- мирования анодно-оксидных покрытий на их пористость // Перспективные материалы. – 2002. – № 3. – С. 48–55.
5. Красиков Н.Н. Влияние электрического поля на ионный состав водных растворов // Журн. физ. химии. – 2002. – Т. 76. – № 3. – С. 567–568.
6. Пат. 2198025 Россия. МКИ⁷ B01J 19/18, G01N 27/26. Способ возбуждения микроплазменных разрядов на границе раздела двух жидких фаз // А.И. Мамаев, В.А. Мамаева. Заявлено 05.07.2001; Опубл. 10.02.2003, БИПМ № 4. – С. 337.
7. Дамаскин Б.Б., Петрий О.А. Введение в электрохимическую кинетику. – М.: Высшая школа, 1975. – 416 с.
8. Гороновский И.Т., Назаренко Ю.П., Некряч Е.Ф. Краткий справочник по химии. – Киев: Наукова думка, 1974. – С. 836.

УДК 547.495.2:547.539.4

НОВЫЙ МЕТОД СИНТЕЗА МЕТИЛЕНБИСМОЧЕВИН С ИСПОЛЬЗОВАНИЕМ ФЕНИЛИОДОЗОТРИФТОРАЦЕТАТА

Е.А. Мамаева, А.А. Бақибаев

Томский политехнический университет
E-mail: eam@anchem.cttd.tpu.ru

На основе реакции 1-монозамещенных мочевин с фенилиодозотрифторацетатом в метанольном растворе предложен новый метод синтеза 1,7-дизамещенных метиленбисмочевин

Мочевина обладает широким спектром полезных свойств, а ее производные являются структурными фрагментами многих лекарственных препаратов, обладающих выраженным противосудорожным, антигипоксическим, ферментиндуцирующим и другими фармакологически ценными свойствами [1]. Поскольку, литературные сведения о

превращениях мочевин под действием арилиодозокарбоксилатов (АИК) ограничены сообщениями о применении мочевин в качестве вторичных субстратов в реакциях азагетероциклизации [2–7], на наш взгляд, существенный вклад как в химию карбамидов, так и в химию АИК вносят исследования их взаимной реакционной способности.

Ранее мы обнаружили [8], что отдельные 1-арилалкилмочевины претерпевают превращение до метиленбисмочевин (МБМ) под действием фенилиодозотрифтогората (ФИТФА) в метанольном и водно-метанольном растворах. Поскольку, в работе [8] были изучены только три производных мочевины, и выходы синтезированных соединений не были оптимизированы, целью настоящей работы явилось изучение препартивных возможностей этой удобной реакции [8], а именно: разработка нового метода получения МБМ и распространение его на широкий ряд 1-монозамещенных мочевин.

При изучении поведения 1-монозамещенных мочевин под действием АИК в метаноле возможна реализация конкурентного окисления как субстратов (мочевин), так и растворителя (метанола). Мы обнаружили, что в смеси эквимолярных количеств 1-монозамещенных мочевин и ФИТФА в среде метанола при комнатной температуре степень конверсии исходных субстратов очень мала. Данный факт показал, что мочевины устойчивы к действию ФИТФА при нормальных условиях. Поскольку, АИК потенциально способны окислять спирты с образованием карбонильных соединений [9–11], то ожидаемым результатом реакции 1-монозамещенных мочевин с ФИТФА в среде метанола становится конденсация мочевин с формальдегидом (продуктом окисления метанола). Учитывая, что доминирование данного процесса над остальными маршрутами реакции подтверждено результатами работы [8], приведем некоторые известные примеры подобной конденсации с участием в них амидофункциональных соединений.

Так, согласно литературным сведениям [12], при кислотном катализе амиды конденсируются с альдегидами по тримолекулярной схеме с образованием метиленбисамидов, а в водном нейтральном или водном слабощелочном растворе мочевина конденсируется с формальдегидом, давая 1-метилол- и 1,3-диметилолмочевины. Конденсированный высокомолекулярный продукт мочевины с формальдегидом, получающийся в щелочном или кислом растворе, представляет собой первую стадию производства мочевинных (карбамидных) смол, имеющих большое техническое значение. Здесь же следует отметить, что варьирование количеств формальдегида и мочевины позволяет получать технические материалы широкого назначения (от прессовочных материалов до kleev для дерева) [12].

Таким образом, в случае 1-монозамещенных мочевин в метанольном растворе в присутствии специфических окислителей можно ожидать образование 3-метилолмочевин или конденсированных через метиленовый мостик бисмочевин.

С учетом варьирования условий реакции, а именно: мольных соотношений субстрата и реагента (1-монозамещенной мочевины и ФИТФА), среды и температурного режима, — мы пришли к заключению, что оптимальные результаты получены при взаимодействии эквимолярных количеств 1-моно-

замещенных мочевин с ФИТФА в среде метанола при кипячении.

Так, мы установили, что при реакции 1-алкилмочевин (Ia–ж) с эквимолярным количеством ФИТФА в метанольном растворе при кипячении в течение 3 ч образуются 1,7-диалкил-метиленбисмочевины (IIa–ж) (рис. 1) с хорошими выходами. Отмечено, что температуры плавления полученных соединений (IIa–ж) значительно выше, чем у исходных 1-алкилмочевин (Ia–ж).

Мы подтвердили, что в условиях найденной реакции доминирующим процессом является промежуточное окисление метанола действием ФИТФА до формальдегида. В условиях кипячения реакционной массы 1-алкилзамещенные мочевины, в основном, остаются инертными к действию ФИТФА, а подвергаются гидроксиметилированию по незамещенному 3 положению вследствие протекания вторичных процессов, связанных с накоплением в реакционной среде формальдегида и трифтогорусной кислоты, причем, последняя, очевидно, катализирует конденсацию 3-метилольных производных с исходными мочевинами.

Таким образом, успешный синтез димерных 1-алкилмочевин (IIa–ж) позволил нам сделать вывод о целесообразности применения соединений поливалентного иода на подобные процессы конденсации.

Далее мы установили, что при взаимодействии 1-арилалкилмочевин (Iз–ц) с эквимолярным количеством ФИТФА в кипящем метанольном растворе в течение 3 ч происходит образование 1,7-ди(арилалкил)-метиленбисмочевин (IIIз–ц) (рис. 1), выходы которых, в основном, варьируются от умеренных до высоких (см. эксп. часть). Также, как и в случае 1-алкилмочевин (Ia–ж), нами отмечается тот факт, что температуры плавления полученных этим методом соединений (IIIз–ц) выше температур плавления исходных 1-арилалкилмочевин (Iз–ц). Невысокие выходы (менее 50 %) некоторых МБМ (IIIз,п,с), очевидно, связаны с окислительными процессами, которым, по-видимому, более подвержены 1-арилалкил-, нежели 1-алкилмочевины. В противоположность этому, высокие выходы в ряду бензидрильных производных (IIIу–ц), вероятно, свидетельствуют о меньшей склонности бензидрилмочевин к окислительному воздействию ФИТФА по сравнению с остальными 1-арилалкилмочевинами, реакции с которыми нами были исследованы (см. эксп. часть). Анализ результатов проведенных исследований с бензидрилмочевинами показывает, что введение электроноакцепторных заместителей в фенильные ядра приводит к меньшему падению выходов соответствующих МБМ (IIIф,х), нежели при включении электронодонорных функциональных групп (см. выход соединения IIIц). Исходя из выше-сказанного, можно сделать предварительное заключение о том, что электроноакцепторные заместители стабилизируют бензидрилмочевины в отношении окислительного воздействия ФИТФА, в отличии

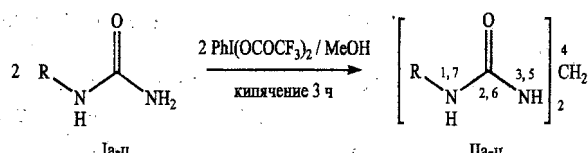


Рис. 1. Синтез 1,7-диалкил- (IIa-ж) и 1,7-ди(арилалкил)- (IIз-ц) метиленбисочевин

чие от электронодонорных групп, которые способствуют протеканию побочных окислительных процессов, уменьшая тем самым выход соответствующих МБМ.

Возможность частичного окисления производных мочевин в среде метанола подтверждена на примере исследования реакции 1-бензилмочевины (Iи) с ФИТФА в индифферентных растворителях (CH_3CN и CHCl_3), где в качестве одного из продуктов окисления выделен бензальдегид (~30%). Детальное изучение процесса окисления 1-монозамещенных мочевин под действием АИК является предметом наших дальнейших исследований.

На основе полученных экспериментальных данных мы предположили следующий реакционный путь превращений 1-алкил- и 1-арилалкилмочевин (Ia-ц) в метанольном растворе в присутствии ФИТФА (рис. 2): первоначально генерируемый из метанола под действием ФИТФА в условиях кипения формальдегид (A) взаимодействует с 1-R-функциональными мочевинами (Ia-ц) с образованием соответствующих 3-метилольных производных (B); а последние в результате катализического действия образующейся в реакционной массе трифторуксусной кислоты конденсируются с 1-монозамещенными мочевинами (Ia-ц), приводя к синтезу целевых 1,7-дизамещенных метиленбисмочевин (Pa-ц). Образование исключительно продуктов димеризации свидетельствует о том, что в данных условиях 3-монометиломочевины не подвергаются дегидратации до монометиленмочевин, склонных к поликонденсации [13], так как среди полученных соединений не обнаружено соответствующих полимерных соединений. Кроме того, как следует из предложенного маршрута реакции (рис. 2), для осуществления процесса димеризации оптимальным является следующее соотношение реагентов: 1-монозамещенная мочевина : ФИТФА = 1 : 0,5. Однако, если учесть, что образующийся формаль-

дегид легко летуч (газ), к тому же реакция ведется при нагревании, то двукратный избыток окислителя обоснован (реагенты смешивались в эквимолярных соотношениях), так как позволяет поддерживать необходимую концентрацию альдегида в реакционной массе, сдвигая тем самым равновесие в сторону образования целевых димерных соединений (Pa-ц).

Доказательством того, что в предложенном методе (рис. 1) доминирующим процессом является промежуточное окисление метанола до формальдегида, служит то, что отдельные МБМ (Пи,п) были получены встречным синтезом по реакции 1-монозамещенных мочевин с формальдегидом в инертном растворителе (хлороформе или 1,2-дихлорэтане) при добавлении катализитических количеств соляной кислоты [8].

Структуры синтезированных соединений (Pa-ц) доказаны с привлечением данных ИК- и ЯМР ^1H -спектров, а в отдельных случаях – ЯМР ^{13}C -спектроскопии и масс-спектрометрии (см. эксп. часть).

Таким образом, мы предложили новый удобный метод синтеза МБМ (Pa-ц), заключающийся в том, что соответствующие 1-монозамещенные мочевины (Ia-ц) в присутствии ФИТФА в метанольном растворе конденсируются с образующимся *in situ* формальдегидом. Разработанный нами метод успешно распространен как на 1-алкил- (Ia-ж), так и на 1-арилалкил- (Iз-ц) мочевины. К достоинствам метода можно отнести то, что его применение исключает образование поликонденсированных продуктов.

Подчеркнем, что свойства синтезированных МБМ (Pa-ц) в литературе не найдены. О потенциальном применении соединений (Pa-ц) следует сказать, что они могут быть востребованы как объекты для биологических исследований. Согласно результатам работы [14], где сообщается о применении незамещенной МБМ в синтезе некоторых пиразоло[3,4-*d*]пиrimидинов, можно предположить, что ее производные (Pa-ц) далее могут выступать как синтоны для получения различных азагетероциклических конденсированных систем.

Экспериментальная часть

Контроль за ходом реакций и индивидуальность полученных соединений определяли методом тон-

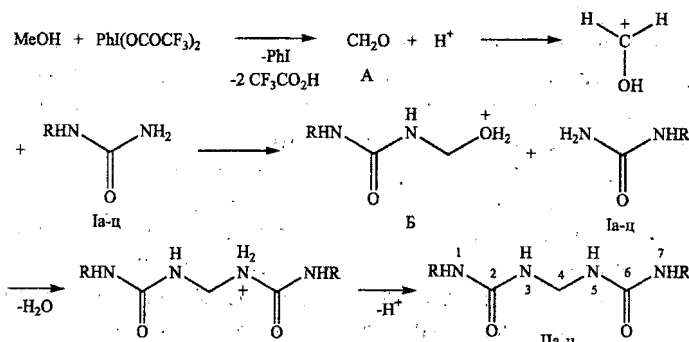


Рис. 2. Предполагаемый маршрут реакции

кослойной хроматографии на пластинах Merk DC-Alufolien Kieselgel 60 F₂₅₄ (элюент: бензол-этанол = 8: 2).

Спектры ЯМР ¹H и ¹³C регистрировали на ЯМР-спектрометре Tesla BS-497 (100 МГц и 25 МГц соответственно) в DMC₆, а в отдельных случаях в CDCl₃, CF₃COOD и C₆D₆. Химические сдвиги определяли относительно сигнала тетраметилсилина (в м.д.). ИК-спектры записывали на спектрофотометре AVATAR (Nicoletti) для таблеток в КBr. Точные значения масс молекулярных ионов определяли методом масс-спектрометрии высокого разрешения на приборе MAT-8200 фирмы Finnigan с прямым вводом образца в источник, при энергии ионизирующего облучения 70 эВ.

ФИТФА получали по методике [15].

Общая методика синтеза 1,7-R₂-метиленбисмочевины (Па-ц). Смесь 2,33 ммоль 1-R-монозамещенной мочевины (Ia-ц), 1,000 г (2,33 ммоль) ФИТФА и 10 мл метанола интенсивно перемешивали при кипячении в течение 3 ч. В охлажденную реакционную массу (если не произошло выпадение осадка) приливали 3 мл воды. В зависимости от природы мочевины, сразу или по истечении некоторого времени (3 ч...3 сут) в водно-метанольном растворе выпадали кристаллы. Выпавший осадок фильтровали, сушили, промывали ацетоном. В случае использования приема дробного фильтрования осадки объединяли. Таким образом получали целевые МБМ (Па-ц) в виде белых кристаллов. Результаты их синтезов, а также данные ИК-, ¹H ЯМР-спектров приведены ниже. Для МБМ (Ши) спектральные характеристики дополнительно представлены данными ЯМР ¹³C и масс-спектров.

1,7-Ди(3'-пентил)-метиленбисмочевина (Па, R = CHEt₂). Выход 0,260 г (82 %), T_{пл} 229...230 °C. ИК спектр, ν, см⁻¹: 1629 (C=O), 3334 ш.с. (NH). Спектр ЯМР ¹H, DMSO-d₆, δ, м.д.: 1,09 т (12H, 4CH₃, J6,0 Гц), 1,60 кв (8H, 4CH₂, J5,8 Гц), 3,80...4,00 м (2H, 2CH), 4,52 т (2H, CH₂, J6,0 Гц), 6,17 д (2H, 2NH, J8,0 Гц), 6,52 т (2H, NH, J5,0 Гц).

1,7-Ди(4'-гептил)-метиленбисмочевина (Пб, R = CHPr₂). Выход 0,322 г (84 %), T_{пл} 211...213 °C. ИК спектр, ν, см⁻¹: 1629 (C=O), 3343 (NH). Спектр ЯМР ¹H, DMSO-d₆, δ, м.д.: 1,11 т (12H, 4CH₃, J6,0 Гц), 1,54 д (16H, 8CH₂, J4,0 Гц), 3,75...3,96 м (2H, 2CH), 4,48 т (2H, CH₂, J6,5 Гц), 6,15 д (2H, 2NH, J5,5 Гц), 6,49 т (2H, 2NH, J6,5 Гц).

1,7-Ди(2'-метил-3'-бутил)-метиленбисмочевина (Пв, R = CH(i-Pr)Me). Выход 0,195 г (62 %), T_{пл} 206...207 °C. ИК спектр, ν, см⁻¹: 1629 (C=O), 3343 (NH). Спектр ЯМР ¹H, DMSO-d₆, δ, м.д.: 1,02...1,34 м (18H, 6CH₃), 1,68...2,04 м (2H, 2CH), 3,82 ск (2H, 2CH, J4,0 Гц), 4,51 т (2H, CH₂, J6,0 Гц), 6,23 д (2H, 2NH, J8,5 Гц), 6,56 т (2H, 2NH, J6,0 Гц).

1,7-Ди(2'-гексил)-метиленбисмочевина (Пг, R = CH(n-Bu)Me). Выход 0,107 г (61 %), T_{пл} 164...166 °C. ИК спектр, ν, см⁻¹: 1630 (C=O), 3344 (NH). Спектр ЯМР ¹H, DMSO-d₆, δ, м.д.: 0,90...1,30 м (12H, 4CH₃), 1,30...1,84 м (12H, 6CH₂), 3,98 ск (2H, 2CH,

J4,5 Гц), 4,48 т (2H, CH₂, J6,0 Гц), 6,18 д (2H, 2NH, J7,5 Гц), 6,52 т (2H, 2NH, J6,0 Гц).

1,7-Ди(6'-ундекил)-метиленбисмочевина (Пд, R = CH(n-C₅H₁₁)₂). Выход 0,226 г (44 %), T_{пл} 152...154 °C. ИК спектр, ν, см⁻¹: 1621 (C=O), 3346 ш.с. (NH). Спектр ЯМР ¹H, DMSO-d₆, δ, м.д.: 0,90...1,26 м (12H, 4CH₃), 1,26...2,02 м (32H, 16CH₂), 3,75...3,91 м (2H, 2CH), 4,50 т (2H, CH₂, J6,0 Гц), 6,11 д (2H, 2NH, J7,5 Гц), 6,51 т (2H, 2NH, J6,0 Гц).

1,7-Ди(2'-октил)-метиленбисмочевина (Пе, R = CH(C₆H₁₃)Me). Выход 0,085 г (21 %), T_{пл} 109...111 °C. ИК спектр, ν, см⁻¹: 1627 (C=O), 3343 (NH). Спектр ЯМР ¹H, DMSO-d₆, δ, м.д.: 0,90...1,34 м (12H, 4CH₃), 1,34...1,80 м (20H, 10CH₂), 3,65...3,94 м (2H, 2CH), 4,46 т (2H, CH₂, J6,0 Гц), 6,19 д (2H, 2NH, J8,0 Гц), 6,52 т (2H, 2NH, J6,5 Гц).

1,7-Ди(2'-метил-2'-пропил)-метиленбисмочевина (Пж, R = t-Bu). Выход 0,196 г (69 %), T_{пл} 212...213 °C. ИК спектр, ν, см⁻¹: 1626 (C=O), 3350, 3359 (NH). Спектр ЯМР ¹H, DMSO-d₆, δ, м.д.: 1,49 с (18H, 6CH₃), 4,42 т (2H, CH₂, J6,0 Гц), 6,16 с (2H, 2NH), 6,45 т (2H, 2NH, J7,0 Гц).

1,7-Ди(1'-фенил-2'-бутил)-метиленбисмочевина (Пз, R = CH(CH₂Ph)Et). Выход 0,023 г (5 %), T_{пл} 132...134 °C. ИК спектр, ν, см⁻¹: 1626 (C=O), 3346 ш.с. (NH). Спектр ЯМР ¹H, DMSO-d₆, δ, м.д.: 1,05 т (6H, 2CH₃, J6,5 Гц), 1,52 кв (4H, 2CH₂, J7,0 Гц), 2,90 д (4H, 2CH₂, J6,0 Гц), 3,94 ск (2H, 2CH, J5,0 Гц), 4,47 т (2H, CH₂, J6,5 Гц), 6,27 д (2H, 2NH, J7,5 Гц), 6,59 т (2H, NH, J6,5 Гц), 7,46 с (10H, 2C₆H₅).

1,7-Дибензил-метиленбисмочевина (Пи, R = CH₂Ph). Выход 0,207 г (57 %), T_{пл} 200...201 °C. ИК спектр, ν, см⁻¹: 1630 (C=O), 3352 (NH). Спектр ЯМР ¹H, DMSO-d₆, δ, м.д.: 4,46 д (4H, 2CH₂, J6,5 Гц), 4,58 т (2H, CH₂, J6,0 Гц), 6,85 т (4H, 4NH, J6,5 Гц), 7,51 с (10H, 2C₆H₅). Спектр ЯМР ¹³C, DMSO-d₆+CDCl₃+Cr(AcAc)₃, δ_c, м.д.: 156,15 (C=O), 138,59 (C¹, аром.), 126,39...124,60 (аром.). Спектр ЯМР ¹³C, CF₃COOD+C₆D₆, δ_c, м.д.: 162,43 (C=O), 131,53...128,60 (аром.), 49,75 (CH₂), 47,17 (CH₂). Масс-спектр, m/z (I_{отн.}, %): 163 (2,4) [M⁺-PhCH₂-NH-CO-NH], 162 (11,0), 161 (11,7), 150 (28,2), 106 (38,0), 91 (100), 79 (17,3), 77 (13,1), 65 (12,9), 51 (7,8), 45 (4,4), 44 (3,4), 43 (2,5), 39 (4,7), 30 (29,5), 28 (15,9).

1,7-Ди(1'-фенил-1'-этил)-метиленбисмочевина (Пк, R = CH(Me)Ph). Выход 0,205 г (52 %), T_{пл} 201...202 °C. ИК спектр, ν, см⁻¹: 1629 (C=O), 3335 ш.с. (NH). Спектр ЯМР ¹H, DMSO-d₆, δ, м.д.: 1,56 д (6H, 2CH₃, J7,0 Гц), 4,52 т (2H, CH₂, J7,0 Гц), 5,01 кв (2H, 2CH, J6,5 Гц), 6,69 т (2H, 2NH, J6,0 Гц), 6,89 д (2H, 2NH, J7,5 Гц), 7,53 с (10H, 2C₆H₅).

1,7-Ди(1'-{4'-толил}-1'-этил)-метиленбисмочевина (Пл, R = CH(Me)4-Tol). Выход 0,246 г (57 %), T_{пл} 196...198 °C. ИК спектр, ν, см⁻¹: 1623 (C=O), 3299, 3374 (NH). Спектр ЯМР ¹H, DMSO-d₆, δ, м.д.: 1,54 д (6H, 2CH₃, J7,0 Гц), 2,53 с (6H, 2CH₃), 4,51 т (2H, CH₂, J5,0 Гц), 4,97 кв (2H, 2CH, J6,0 Гц), 6,65 т (2H, 2NH, J7,0 Гц), 6,83 д (2H, 2NH, J7,5 Гц), 7,38 ш.с (8H, 2C₆H₄).

1,7-Ди(1'-фенил-1'-пропил)-метиленбисмочевина (**II_m**, R = CH(Et)Ph). Выход 0,245 г (57 %), T_{пл} 193...195 °C. ИК спектр, ν, см⁻¹: 1627 (C=O), 3317, 3357 (NH). Спектр ЯМР ¹H, DMSO-d₆, δ, м.д.: 1,05 т (6H, 2CH₃, J7,5 Гц), 1,88 ск (4H, 2CH₂, J7,0 Гц), 4,51 т (2H, CH₂, J6,5 Гц), 4,81 к (2H, 2CH, J6,5 Гц), 6,68 т (2H, 2NH, J6,0 Гц), 6,89 д (2H, 2NH, J8,5 Гц), 7,51 с (10H, 2C₆H₅).

1,7-Ди(1'-фенил-1'-бутил)-метиленбисмочевина (**II_n**, R = CH(n-Pr)Ph). Выход 0,346 г (75 %), T_{пл} 186...188 °C. ИК спектр, ν, см⁻¹: 1631 (C=O), 3346 ш.с (NH). Спектр ЯМР ¹H, DMSO-d₆, δ, м.д.: 1,11 т (6H, 2CH₃, J6,5 Гц), 1,50 ск (4H, 2CH₂, J6,5 Гц), 1,85 к (4H, 2CH₂, J7,0 Гц), 4,49 т (2H, CH₂, J5,5 Гц), 4,89 к (2H, 2CH, J7,0 Гц), 6,68 т (2H, 2NH, J5,5 Гц), 6,93 д (2H, 2NH, J8,5 Гц), 7,50 с (10H, 2C₆H₅).

1,7-Ди(1'-фенил-2'-метил-1'-пропил)-метиленбисмочевина (**II_o**, R = CH(i-Pr)Ph). Выход 0,262 г (57 %), T_{пл} 226...227 °C. ИК спектр, ν, см⁻¹: 1629 (C=O), 3343 ш.с (NH). Спектр ЯМР ¹H, DMSO-d₆, δ, м.д.: 1,06 д (12H, 4CH₃, J6,5 Гц), 2,00...2,25 м (2H, 2CH), 4,50 т (2H, CH₂, J6,0 Гц), 4,74 т (2H, 2CH, J6,0 Гц), 6,74 т (2H, 2NH, J6,0 Гц), 6,91 д (2H, 2NH, J8,5 Гц), 7,51 с (10H, 2C₆H₅).

1,7-Ди(1'-фенил-1'-пентил)-метиленбисмочевина (**II_p**, R = CH(n-Bu)Ph). Выход 0,238 г (48 %), T_{пл} 196...197 °C. ИК спектр, ν, см⁻¹: 1626 (C=O), 3315, 3340 (NH). Спектр ЯМР ¹H, DMSO-d₆, δ, м.д.: 1,06 т (6H, 2CH₃, J6,0 Гц), 1,20...1,68 м (8H, 4CH₂), 1,84 к (4H, 2CH₂, J6,5 Гц), 4,47 т (2H, CH₂, J6,0 Гц), 4,86 к (2H, 2CH, J7,0 Гц), 6,66 т (2H, 2NH, J6,0 Гц), 6,88 д (2H, 2NH, J8,0 Гц), 7,48 с (10H, 2C₆H₅).

1,7-Ди(1'-фенил-3'-метил-1'-бутил)-метиленбисмочевина (**II_r**, R = CH(i-Bu)Ph). Выход 0,351 г (71 %), T_{пл} 196...197 °C. ИК спектр, ν, см⁻¹: 1629 (C=O), 3367 (NH). Спектр ЯМР ¹H, DMSO-d₆, δ, м.д.: 1,14 д (12H, 4CH₃, J5,0 Гц), 1,50...1,90 м (6H, 2CH, 2CH₂), 4,48 т (2H, CH₂, J6,0 Гц), 4,94 к (2H, 2CH, J5,5 Гц), 6,63 т (2H, 2NH, J7,0 Гц), 6,88 д (2H, 2NH, J9,0 Гц), 7,50 с (10H, 2C₆H₅).

1,7-Ди(1',2'-дифенил-1'-этил)-метиленбисмочевина (**II_s**, R = CH(CH₂Ph)Ph). Выход 0,219 г (38 %),

T_{пл} 179...180 °C. ИК спектр, ν, см⁻¹: 1633 (C=O), 3307, 3367 (NH). Спектр ЯМР ¹H, DMSO-d₆, δ, м.д.: 3,15 д (4H, 2CH₂, J6,5 Гц), 4,42 т (2H, CH₂, J5,5 Гц), 5,14 к (2H, 2CH, J8,0 Гц), 6,70 т (2H, 2NH, J6,0 Гц), 6,97 д (2H, 2NH, J7,5 Гц), 7,42 с (10H, 2C₆H₅), 7,48 с (10H, 2C₆H₅).

1,7-Ди(1',3'-дифенил-1'-пропил)-метиленбисмочевина (**II_t**, R = CH(CH₂-CH₂Ph)Ph). Выход 0,384 г (66 %), T_{пл} 195...196 °C. ИК спектр, ν, см⁻¹: 1629 (C=O), 3342 ш.с (NH). Спектр ЯМР ¹H, DMSO-d₆, δ, м.д.: 2,14 к (4H, 2CH₂, J7,0 Гц), 2,76 т (4H, 2CH₂, J7,5 Гц), 4,53 т (2H, CH₂, J7,0 Гц), 4,91 к (2H, 2CH, J7,0 Гц), 6,73 т (2H, 2NH, J6,5 Гц), 7,05 д (2H, 2NH, J8,5 Гц), 7,41 д (10H, 2C₆H₅, J3,0 Гц), 7,50 с (10H, 2C₆H₅).

1,7-Дибензидрил-метиленбисмочевина (**II_u**, R = CHPh₂). Выход 0,464 г (86 %), T_{пл} >280 °C. ИК спектр, ν, см⁻¹: 1626 (C=O), 3266, 3399 (NH). Спектр ЯМР ¹H, DMSO-d₆, δ, м.д.: 4,57 т (2H, CH₂, J6,0 Гц), 6,18 д (2H, 2CH, J8,0 Гц), 6,84 т (2H, 2NH, J6,5 Гц), 7,25 д (2H, 2NH, J11,5 Гц), 7,40...7,70 м (20H, 4C₆H₅).

1,7-Ди(3'-хлор-бензидрил)-метиленбисмочевина (**II_f**, R = CH(m-ClC₆H₄)Ph). Выход 0,506 г (82 %), T_{пл} 266 °C. ИК спектр, ν, см⁻¹: 1626 (C=O), 3284, 3385 (NH). Спектр ЯМР ¹H, DMSO-d₆, δ, м.д.: 4,57 т (2H, CH₂, J6,0 Гц), 6,19 д (2H, 2CH, J8,5 Гц), 6,85 т (2H, 2NH, J6,5 Гц), 7,23 д (2H, 2NH, J8,5 Гц), 7,53 с (18H, 2C₆H₅, 2C₆H₄).

1,7-Ди(2'-иод-бензидрил)-метиленбисмочевина (**II_g**, R = CH(o-IC₆H₄)Ph). Выход 0,266 г (64 %), T_{пл} 248...252 °C. ИК спектр, ν, см⁻¹: 1627 (C=O), 3355 (NH). Спектр ЯМР ¹H, DMSO-d₆, δ, м.д.: 4,54 т (2H, CH₂, J7,0 Гц), 6,37 д (2H, 2CH, J8,0 Гц), 6,82 т (2H, 2NH, J6,0 Гц), 7,20...7,74 м (18H, 2C₆H₅, 2C₆H₄), 8,12 д (2H, 2NH, J7,0 Гц).

1,7-Ди(3',4'-диметилбензидрил)-метиленбисмочевина (**II_h**, R = CH(4-Tol)3-Tol). Выход 0,174 г (58 %), T_{пл} 246...247 °C. ИК спектр, ν, см⁻¹: 1626 (C=O), 3376 (NH). Спектр ЯМР ¹H, DMSO-d₆, δ, м.д.: 2,51 с (12H, 4CH₃), 4,54 т (2H, CH₂, J6,5 Гц), 6,09 д (2H, 2CH, J8,0 Гц), 6,80 т (2H, 2NH, J7,0 Гц), 7,13 д (2H, 2NH, J6,0 Гц), 7,18...7,50 м (16H, 4C₆H₄).

СПИСОК ЛИТЕРАТУРЫ

- Бакибаев А.А., Тигнибидина Л.Г., Добычина Н.С., Бугаева Л.И., Штыркова В.В., Пустовойтов А.В. Успехи химии ациклических мочевин в синтезе новых биологически активных соединений // В кн.: Успехи химии в создании новых биологически активных соединений / Под ред. А.А. Бакибаева. — Томск: Издво НТЛ, 1998. — С. 12–30.
- Singh S.P., Batra H., Sharma P.K., Prakash O. A facile synthesis of 4-pyrazolylthiazoles and 4-pyrazolylmercaptoimidazoles using [hydroxy(tosyl-oxy)iodo]benzene // J. Indian Chem. Soc. — 1997. — V. 74. — № 11–12. — P. 940–942.
- Moriarty R.M., Vaid B.K., Vaid R.K., Duncan M.P. One pot synthesis of 2-amino-4,5-substituted thiazoles and 2-amino-4,5-substituted selenazoles using [hydroxy-
- (tosyloxy)iodo]benzene, ketones and thiourea/selenourea in acetonitrile // Abstr. Pap. 194th ACS Nat. Meet. (Amer. Chem. Soc.). New Orleans, La, Aug. 30–Sept. 4. 1987. — Washington, D.C., 1987. — P. 882–883.
- Moriarty R.M., Vaid B.K., Duncan M.P., Levy S.G., Prakash O., Goyal S. A one-pot synthesis of amino and 2-(arylamino)-substituted thiazoles and selenazoles using [hydroxy(tosyloxy)iodo]benzene, carbonyl compounds and thioureas or selenoureas: a modification of the Hantzsch synthesis // Synthesis (BRD). — 1992. — № 9. — P. 845–846.
- Prakash O., Saini S., Saim N., Prakash I., Singh S.P. Use of [hydroxy(tosyloxy)iodo]benzene in the synthesis of ethyl 4-(2-substituted amino-4-thiazolyl)phenoxyacetates and acids as antiinflammatory agents // Indian. J. Chem. B. — 1995. — V. 34. — № 7. — P. 660–663.

6. Singh S.P., Naithani R., Aggarwal R., Prakash O. A convenient synthesis of 4-(2-furyl)-2-substituted thiazoles utilising [hydroxy(tosyloxy)iodo]benzene // Synth. Commun. – 1998. – V. 28. – № 13. – P. 2371–2378.
7. Prakash O., Rani N., Goyal S. Hypervalent iodine in the synthesis of bridgehead heterocycles: novel and facile synthesis of 3-substituted-5,6-dihydroimidazo[2,1-b]thiazoles and 3-phenylthiazolo[3,2-a]benzimidazole from acetophenones using [hydroxy(tosyloxy)iodo]benzene // J. Chem. Soc. Perkin Trans. 1. – 1992. – № 6. – P. 707–709.
8. Мамаева Е.А., Бакибаев А.А. Неожиданная димеризация N-арилалкил-мочевин под действием фенил-иодозотрифторацетата в метанольном растворе // Известия вузов. Химия и химическая технология. – 2000. – Т. 43. – № 3. – С. 107–108.
9. Spyroudis S., Varvoglou A. Dehydrogenations with phenyliodine difluoroacetate // Synthesis. – 1975. – № 7. – P. 445–447.
10. Seveno A., Morel G., Foucaud A., Marchand E. Dimerisation des α -cyanoesters par le diacetate d'iodosobenzene // Tetrahedron Lett. – 1977. – № 38. – P. 3349–3352.
11. Narasaki K., Morikawa A., Saigo K., Mukaijama T. Efficient methods for oxidation of alcohols // Bull. Chem. Soc. Japan. – 1977. – V. 50. – № 10. – P. 2773–2776.
12. Неницеску К.Д. Органическая химия / Под ред. академика М.И. Кабачника – М.: Изд-во иностранной литературы, 1962. – Т. 1. – С. 815–824.
13. Степаненко Б.Н. Курс органической химии. – М.: Высшая школа, 1979. – С. 259–260.
14. Михалева М.А. Пиразолопиримидины. Изучение конденсации окси- и аминопиразолов с бисмочевинами. Автореф. дис. ... канд. хим. наук. – Новосибирск, 1973. – 19 с.
15. Меркушев Е.Б., Шварцберг М.С. Иодистые органические соединения и синтезы на их основе. – Томск: Томский государственный педагогический университет, 1978. – С. 34–36.

УДК 543.25

ВЛИЯНИЕ БИОЛОГИЧЕСКИ АКТИВНЫХ ВЕЩЕСТВ НА ОПРЕДЕЛЕНИЕ ЙОДИД-ИОНОВ ПОТЕНЦИОМЕТРИЧЕСКИМ МЕТОДОМ

А.С. Буйновский*, Н.А. Колпакова**, С.А. Безрукова*

*Северский государственный технологический институт. E-mail: bas@ssti.ru

**Томский политехнический университет. E-mail: zvetoc@mail.ru

Представлены результаты исследований влияния биологически активных веществ (мочевина, белок, молочная и мочевая кислоты) на результат определения йодид-ионов потенциометрическим методом. Мешающее влияние органических веществ устраняется добавкой к анализируемой пробе 30 % раствора этанола. Содержание йодид-ионов в пробе оценивали методом двойных стандартных добавок. Правильность методики доказана на модельных растворах.

В настоящее время электрохимическим методам определения йодид-ионов в различных природных и биологических объектах уделяется большое внимание. Определение содержания йодид-ионов в биологических жидкостях стало возможным благодаря внедрению в практику метода прямого потенциометрического анализа с применением ионоселективных электродов (ИСЭ) [1–3]. Достоинствами метода являются: малая трудоемкость и продолжительность измерения; небольшое количество исследуемой жидкости; возможность определения содержания основных компонентов и микропримесей в объектах различного состава.

Анализ биологических объектов представляет трудную задачу, поскольку они имеют сложный состав и отличаются разнообразием. Содержание микроэлементов (йодид-ионов) в них крайне низкое, в то время как содержание макроэлементов и органических веществ колеблется в широких пределах и их влияние сильно сказывается на результатах определения микроэлементов.

Для устранения мешающего воздействия некоторых веществ непосредственно на сам метод анализа необходимо знать химию среды и определяемого иона.

Цель данной работы – исследовать влияние биологически активных веществ на результаты определения йодид-ионов методом прямой потенциометрии с использованием ИСЭ.

Экспериментальная часть

В исследованиях использовался отечественный твердоконтактный электрод с поликристаллической мембраной (фирма «Вольта», г. Санкт-Петербург), селективный к йодид-ионам. Мембрана представляет собой поликристаллы труднорастворимых в воде солей $\text{Ag}_2\text{S}-\text{AgJ}$ $P_{\text{Ag}_2\text{S}} = 6 \cdot 10^{-50}$. Присутствие сульфида серебра повышает прочностные характеристики мембранны и уменьшает ее растворимость [3]. В качестве электрода сравнения использовали хлоридсеребряный электрод марки ЭВЛ-1М1.3. ЭДС гальванической цепи измеряли с помощью